

## 4.1. СВИ в полноцветные изображения

# Видимые ЦВЗ

2

# 1. Видимые и невидимые ЦВЗ: особенности

1

	Неразличимые ЦВЗ	Видимые ЦВЗ
Различимость результата встраивания ЦВЗ	Неразличимый шум	Визуально заметный и интерпретируемый шаблон встраивания
Способ извлечения	Блок извлечения с численным восстановлением встроенной информации	Визуальное наблюдение
Возможные атаки	Явная атака с целью удаления ЦВЗ	Типовая обработка изображения или помимо этого умышленная атака
Учёт особенностей человеческого зрения	Важен	Очень важен
Блочная структура ЦВЗ	Встречается (в Spread Spectrum Watermarking, а также для повышения объёма ЦВЗ)	Используется почти всегда для защиты от вырезания фрагмента

# Простой аддитивный видимый ЦВЗ

4

- Подготовка (циклическое повторение ЦВЗ)

$$W(n_1, n_2) = W_r(n_1 \pmod{M_1}, n_2 \pmod{M_2}),$$

- Встраивание информации:

$$C^W(n_1, n_2) = \begin{cases} C(n_1, n_2) + \alpha \cdot \beta(n_1, n_2) \cdot W(n_1, n_2), & C(n_1, n_2) < 128, \\ C(n_1, n_2) - \alpha \cdot \beta(n_1, n_2) \cdot W(n_1, n_2), & C(n_1, n_2) \geq 128. \end{cases}$$

- Зачем эта схема со сложением и вычитанием?
- $\beta(n_1, n_2)$  может быть рассчитана как средняя яркость локальной окрестности

# СВИ-18 (Kankanhalli & Ramakrishnan): Система видимых ЦВЗ в области блочного ДКП

5

- Контейнер  $C$  разбивается на блоки  $C_{ij}(n_1, n_2)$  размерами  $8 \times 8$
- Блоchное ДКП, результат -  $f_{ij}(m_1, m_2)$
- Встраиваемая информация представляется в виде матрицы  $W$  того же размера, что и контейнер
  - если изначально она задана логотипом  $W_r$ , то он циклически повторяется
- Далее к ней, как и к контейнеру, применяется блочное ДКП, результатом чего являются компоненты  $\Omega_{ij}(m_1, m_2)$

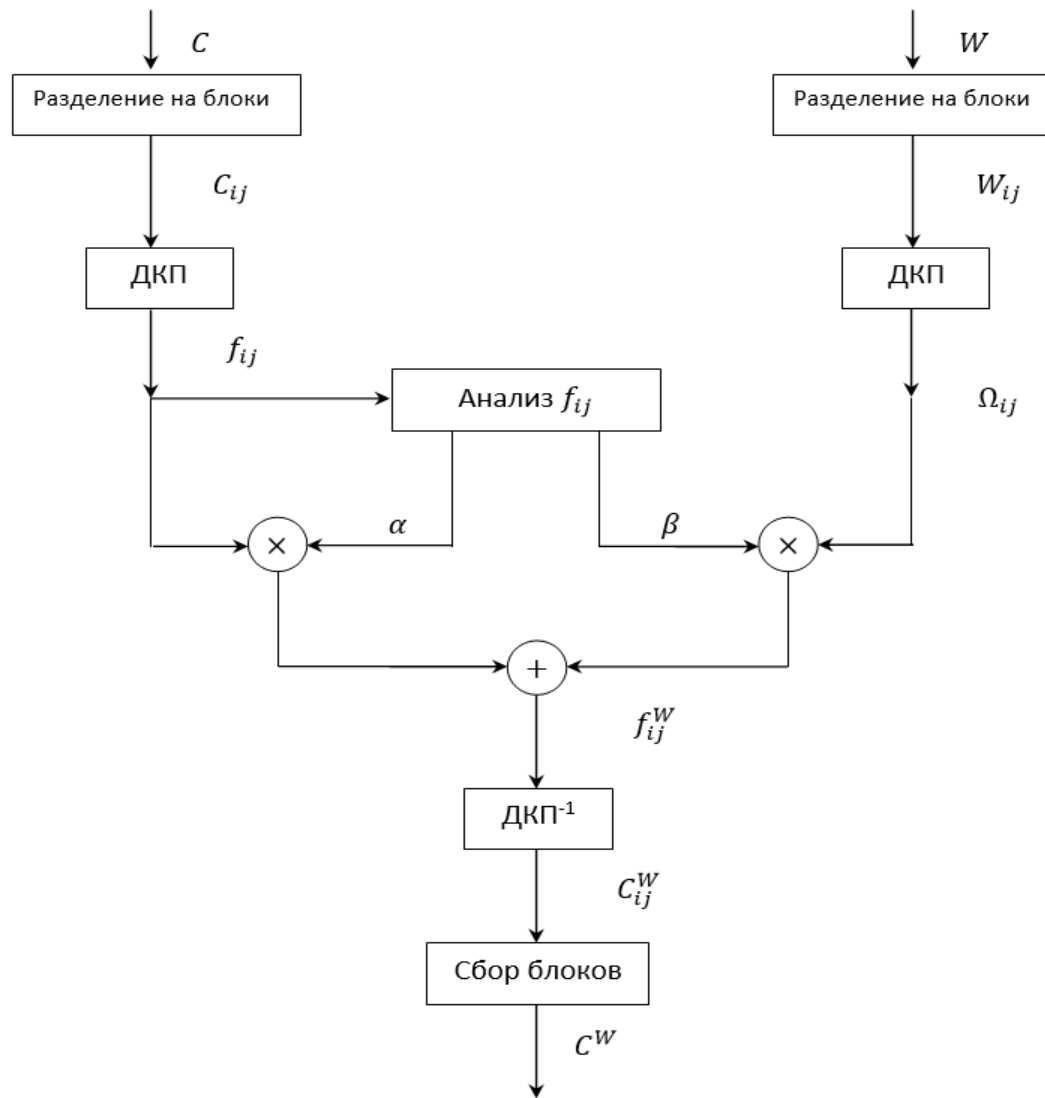
# СВИ-18 (Kankanhalli & Ramakrishnan): Система видимых ЦВЗ в области блочного ДКП

6

- По компонентам  $f_{ij}(m_1, m_2)$  производится анализ характеристик:
  - наличие границ и их резкость;
  - наличие однородных областей (яркость которых близка к постоянной);
  - наличие текстур;
  - средняя яркость блока.
- В результате настраиваются коэффициенты  $\alpha_{ij}$  и  $\beta_{ij}$ , которые далее используются в аддитивной процедуре встраивания информации
$$f_{ij}^W(m_1, m_2) = \alpha_{ij} \cdot f_{ij}(m_1, m_2) + \beta_{ij} \cdot \Omega_{ij}(m_1, m_2).$$
- Типичные значения  $\alpha_{ij}$  варьируются в диапазоне от 0.95 до 0.99, а значения  $\beta_{ij}$  – между 0.01 и 0.15

# СВИ-18 (Kankanhalli & Ramakrishnan): Система видимых ЦВЗ в области блочного ДКП

7



# Геометрически стойкие ЦВЗ

# Введение

9

- Как правило, существенное ухудшение качества извлечения ЦВЗ происходит после размытия и геометрических преобразований
  - первое сопровождается существенной деградацией изображения
  - второе может практически не влиять на качество, но разрушать ЦВЗ  
*а что будет с PSNR?*
- => достижение стойкости к геометрическим преобразованиям – важная и сложная задача при проектировании систем стойких ЦВЗ
- Геометрическое искажение – это атака десинхронизации: ЦВЗ не уничтожается, но декодер из-за десинхронизации не способен извлечь информацию

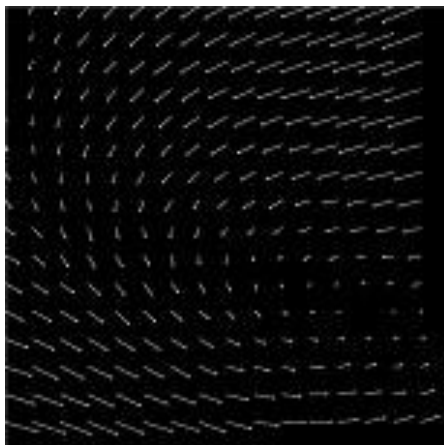
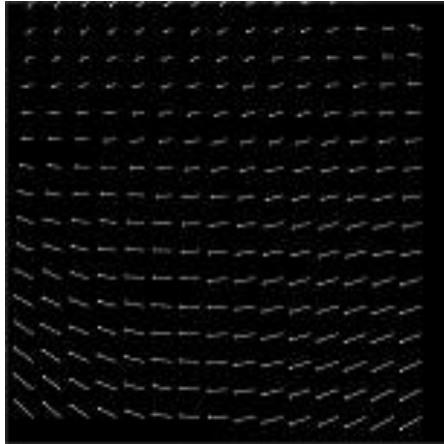
# Примеры геометрических искажений

10

- Сдвиг
  - Циклический сдвиг
- Поворот
- Масштабирование
- Вырезание фрагмента
- RST
- Аффинное преобразование
- Проективное преобразование
- Локальные деформации

# Random bending attack (RBA) – локальные искажения

11



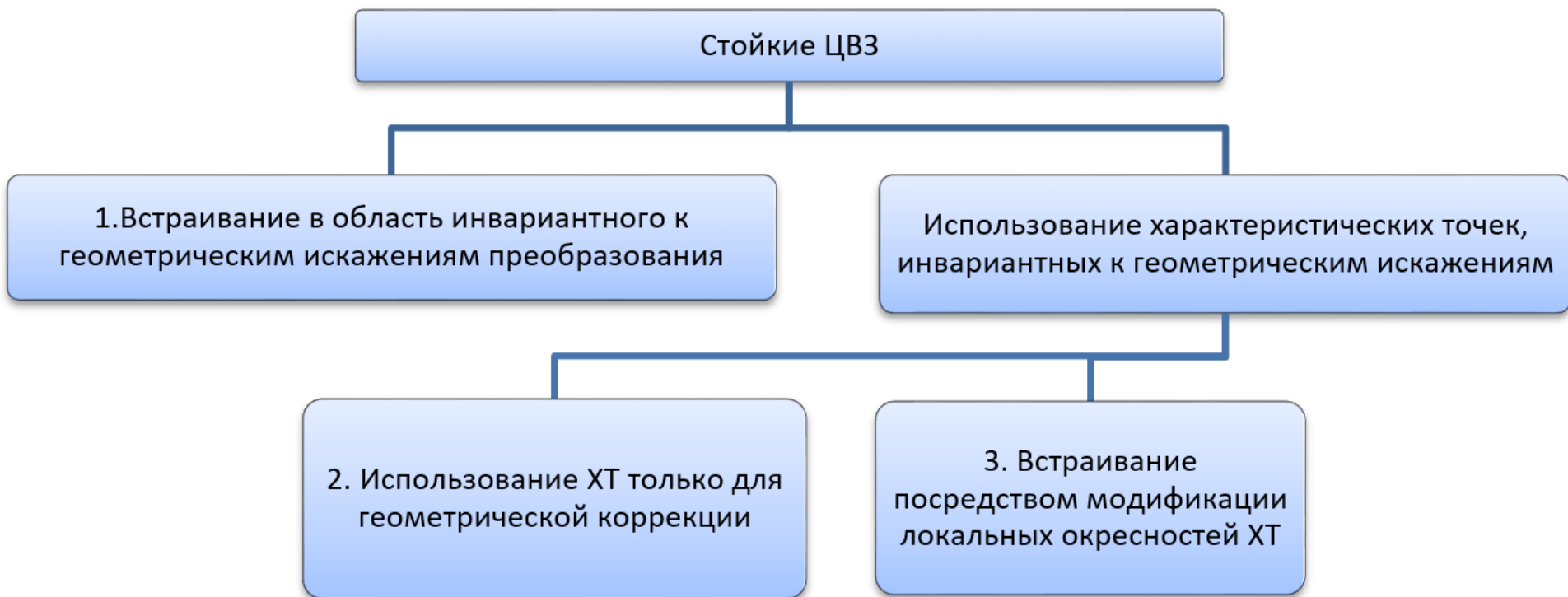
# Методы повышения стойкости ЦВЗ к геометрическим искажениям

12

- Использование исходного контейнера при извлечении информации
- Полный поиск возможных вариантов
- Использование синхронизирующего шаблона (например, второй вспомогательный ЦВЗ)
- Самосинхронизирующиеся ЦВЗ
- ...

# Варианты, которые мы рассмотрим подробнее

13



# Подход 1: СВИ Zheng & Zhao

14

- Основан на преобразовании Фурье-Меллина
- Обеспечивает стойкость к RST
- ДПФ  $\rightarrow |\cdot| \rightarrow \log.\text{polar} \rightarrow$  ДПФ  $\rightarrow |\cdot|$
- Если упрощённо, то далее может быть использована копия СВИ Cox et al. или Piva et al.
- Встраивание информации
$$f^w(m_1, m_2) = f(m_1, m_2) + \alpha \cdot \beta(m_1, m_2) \cdot \Omega(m_1, m_2)$$
- $\Omega(m_1, m_2)$  должна быть положительно определённая.
  - Если  $\Omega(m_1, m_2)$  формируется из последовательности, реализующей нормальное распределение, то используется удвоение:
$$x \geq 0 \Rightarrow (x, 0); x < 0 \Rightarrow (0, x)$$

# Характеристические точки

15

- Материал представлен в отдельной презентации  
“LocalFeatures.pdf”

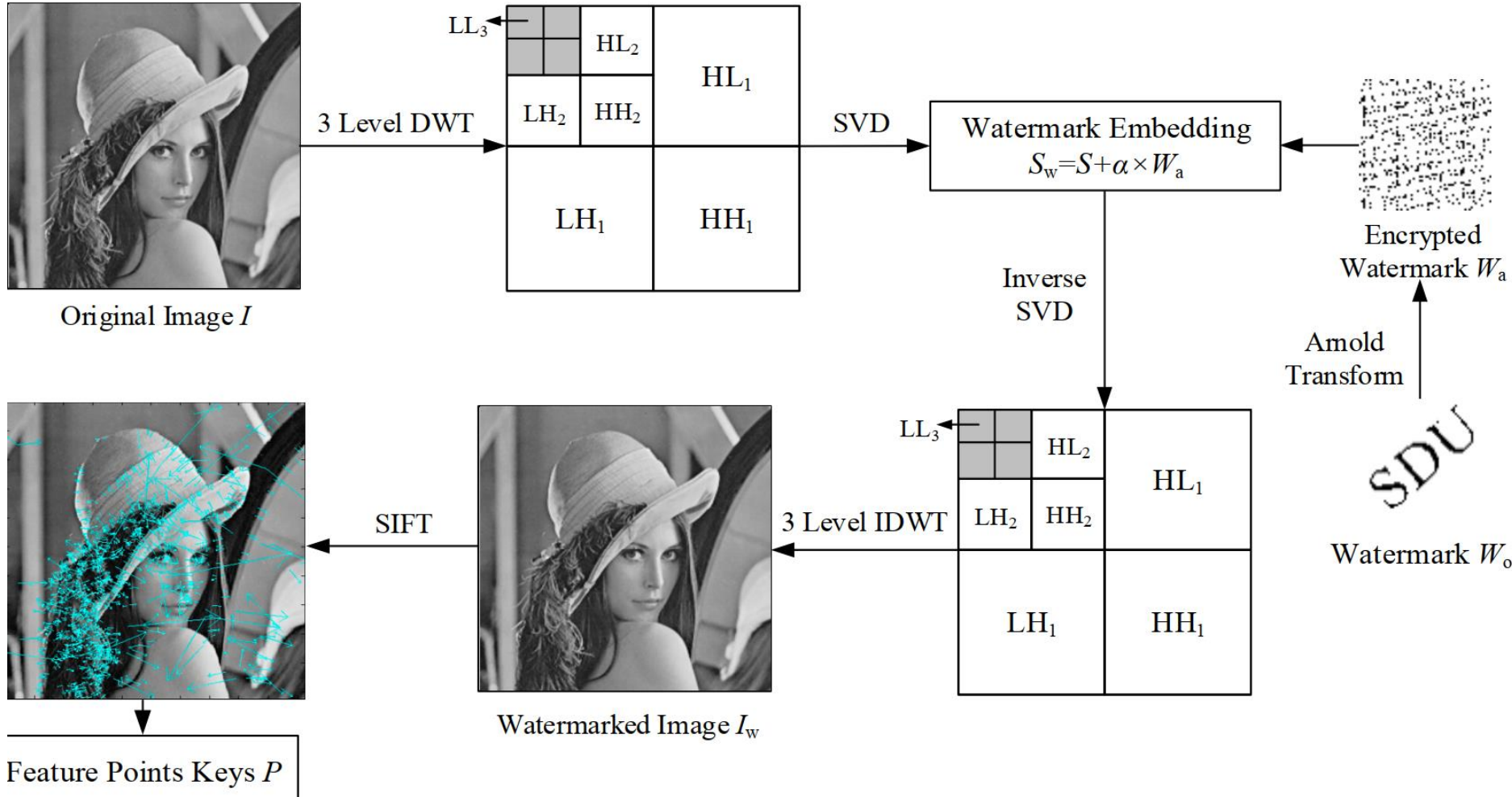
## Подход 2: Zhang et al.

16

- Используется SIFT
- Расчёт характеристических точек происходит после вейвлет-преобразования (для фильтрации незначительной информации)
- Мультипликативное встраивание
- На выходе – детектор (нет извлечения неизвестной встроенной информации)

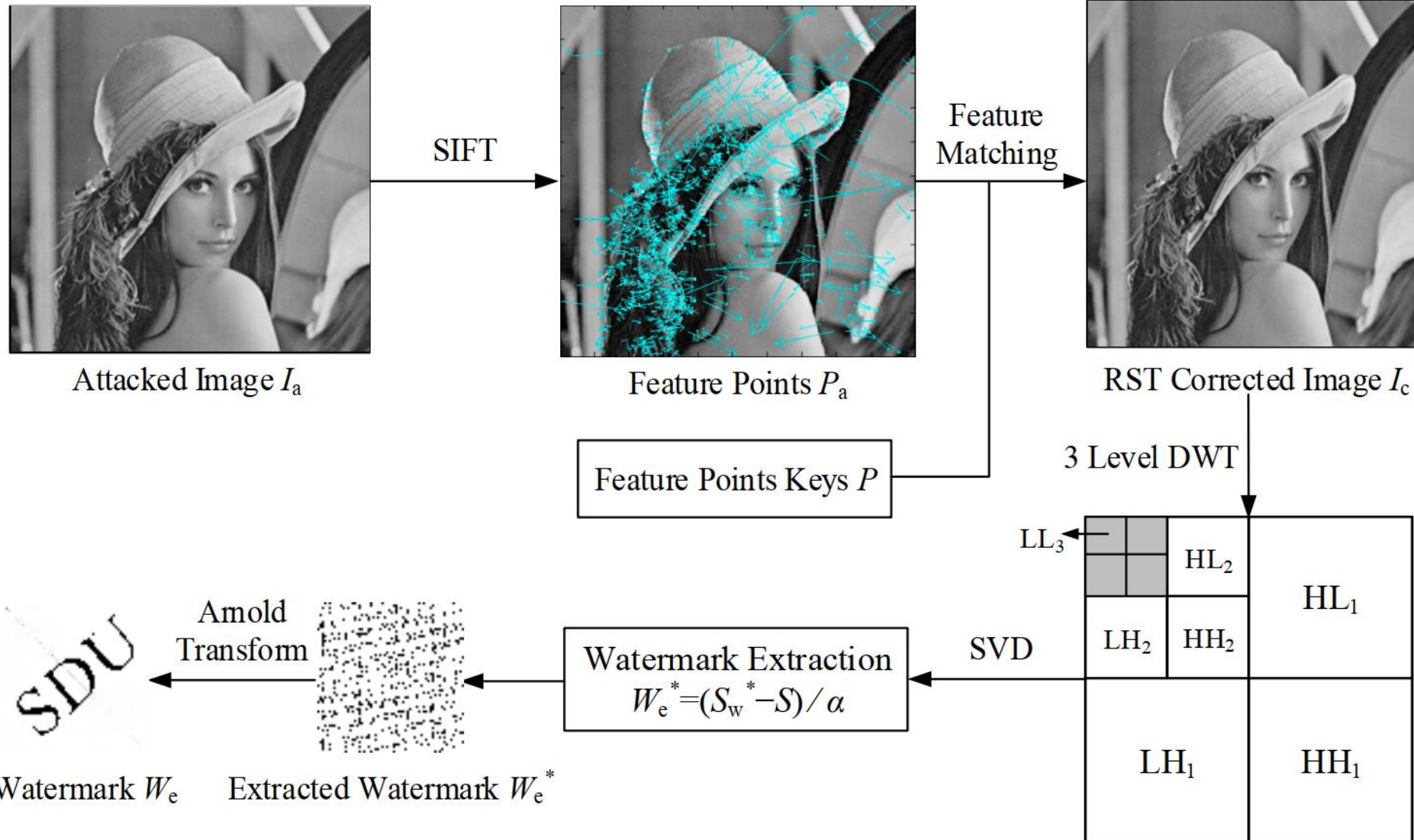
# Подход 1: СВИ Zheng & Zhao

17



# Подход 1: СВИ Zheng & Zhao

18



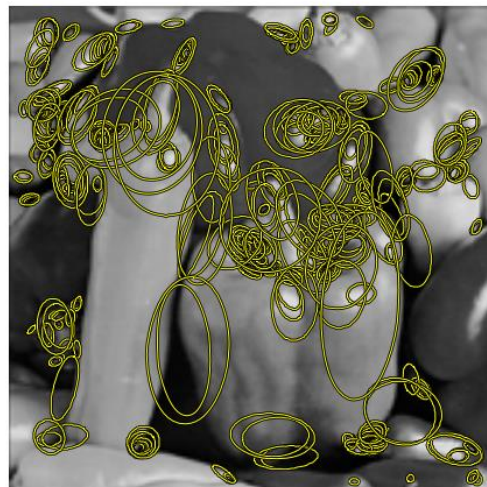
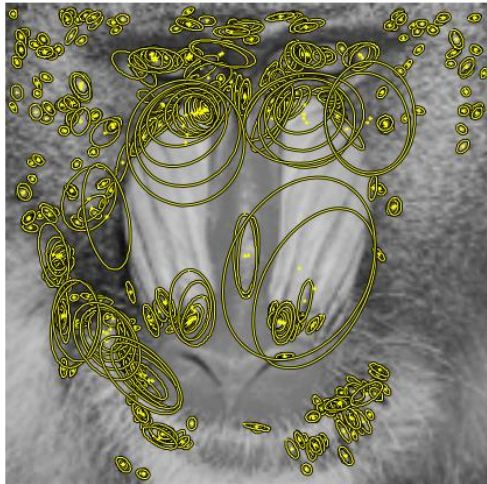
## Подход 3: СВИ Deng et al.

19

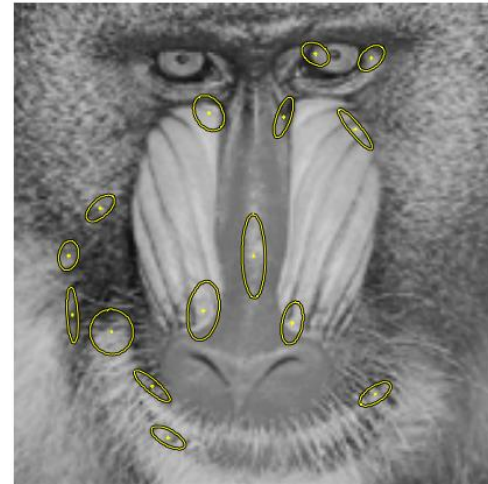
- Ищутся точки Харриса-Лапласа, их дескрипторы, опирающиеся на эллиптические области.
- Исключаются точки с накладывающимися друг на друга локальными областями дескрипторов.
- Определяется направление эллипса  $\theta$ .
- Эллиптические регионы нормируются до кругов радиуса  $R$  (рассчитывается из матрицы вторых моментов как корень из суммы квадратов собственных чисел)

# Подход 1: СВИ Deng et al.

20



Исходные характеристические области



Отобранные характеристические области

## Подход 3: СВИ Deng et al.

21

- $W$  – двоичная матрица с нулевым средним:  $W(n_1, n_2) \in \{-1, 1\}$
- Отображается в окружность (по секторам и сегментам)
- $\beta(n_1, n_2) = \frac{1}{1 + \frac{\alpha \cdot \sigma^2(n_1, n_2)}{\sigma^2_{max}}}, D$  –весовой множитель.
- Аддитивное добавление  $W$  во все нормированные регионы
- $C^W(n_1, n_2) = \alpha_1 \beta(n_1, n_2) C(n_1, n_2) + \alpha_2 (1 - \beta(n_1, n_2)) W(n_1, n_2)$
- Извлечение: те же шаги  $\rightarrow$  Винеровский фильтр  $\rightarrow$  нормированная линейная корреляция ( $W, W^*$ ).

# Аутентификация изображений при помощи ЦВЗ-систем

# 1. Задачи аутентификации изображений

23

- В ряде задач существует необходимость проверки подлинности или целостности мультимедийных данных
- Вопросы, определяющие уровень детальности решения задачи аутентификации
  - Был ли объект каким-либо образом изменён?
  - Если да, то были ли эти изменения значительными?
  - Какие фрагменты подверглись изменению?
  - Может ли объект быть восстановлен?

# 1. Основные подходы к решению задач аутентификации

24

- Два подхода:
  - Пассивные
    - Условие применения: изображение доступно один раз при проверке
    - Заключаются в расчёте ряда характеристик объекта или его фрагментов и выявлении статистических или иных аномалий:
      - Глобальные характеристики и глобальные аномалии: на ансамбле типовых изображений
      - Локальные характеристики и локальные аномалии: внутри анализируемого изображения
      - Несоответствия физических или геометрических характеристик
  - Активные
    - Условие применения: изображение доступно два раза: до возможных искажений и после
    - Криптографические методы и методы на основе ЦВЗ

# 1. Методы, используемые в рамках обоих подходов

25

## ■ Пассивные

- Как правило, ориентированы на конкретное искажение (Copy-Move,..)
- Могут вылавливать факт двойного сохранения (в JPEG, например)
- Могут выявлять физические или геометрические несоответствия:
  - Тени и блики в разные стороны
  - Не та камера
  - Несоответствие даты съёмки историческим реалиям

## ■ Активные

- Криптографические методы (цифровая подпись): высокая точность, но требуется отдельный канал для её передачи
- ЦВЗ-системы
  - Удаляемые ЦВЗ
  - Хрупкие и полухрупкие ЦВЗ, ЦВЗ с локализацией
  - Self-embedding
- Возможно сочетание двух методов (ЦП как ЦВЗ)

# 1. Преимущества и недостатки каждого подхода

26

## ■ Пассивные

- + более широкие условия применения
- - часто необходим большой объём данных
- - как правило, ниже качество решения задачи (ошибки первого и второго рода; как следствие хуже точность локализации изменений)
- - нельзя решить задачу восстановления искажённых областей

## ■ Активные

- - ограниченные возможности применения
- - возможность подвергнуться умышленной атаке против применяемого метода аутентификации
- В остальном одни плюсы

## ■ Выбор подхода и конкретного метода определяется спецификой задачи и сценарием работы.

## ■ Наилучший вариант – комбинация различных средств защиты

## 2. Точная аутентификация

27

- Требуется выявить любые изменения, произошедшие с изображением
- Недопустимы даже искажения изображения, вызванные встраиванием ЦВЗ
- Таким требованиям удовлетворяют так называемые *удаляемые ЦВЗ (reversible watermarking)*

## 2. Сценарий точной аутентификации

28

- Алиса вычисляет одностороннюю хэш-функцию изображения и встраивает её результат в это изображение в качестве ЦВЗ.
  - Алиса отправляет результирующий носитель ЦВЗ Бобу.
  - Боб извлекает ЦВЗ из полученного изображения.
  - Боб удаляет ЦВЗ из изображения. Теперь оно должно быть эквивалентно исходному в случае отсутствия изменений при его передаче.
  - Боб вычисляет одностороннюю хэш-функцию полученного изображения и сравнивает её результат с ЦВЗ.
  - Изображение признаётся подлинным тогда и только тогда, когда результаты хэширования полностью совпадают.
- Вывод: эффективность решения задачи точной аутентификации сводится к эффективности построения систем удаляемых ЦВЗ

## 2. СВИ-19 (E\_MOD/D\_LC): удаляемые ЦВЗ на основе модульной арифметики

29

□ Модификация системы СВИ-12 (E\_BLIND/D\_LC) (Spread Spectrum)

□  $W_{mod}(n_1, n_2) \sim N(0,1)$ , строится на основе ключа  $\mathbf{k}$

□ Изменённая формула встраивания

$$C^W(n_1, n_2) = (C(n_1, n_2) + \alpha \cdot W_{mod}(n_1, n_2)) \pmod{256},$$

□ Проверка подлинности: расчёт линейной корреляции

$$\rho(\widetilde{C}^W, W_{mod})$$
 и сравнение с порогом

□ Удаление ЦВЗ

$$\tilde{C}(n_1, n_2) = (\widetilde{C}^W(n_1, n_2) - \alpha \cdot W_r(n_1, n_2)) \pmod{256}$$

## 2. СВИ-19 (E\_MOD/D\_LC): недостатки

30

- Шум типа «соль-и-перец», вызванный изменением формулы встраивания:
  - ухудшает визуальное качество носителя информации
  - отрицательно сказывается на качестве детектирования
- Корреляционный детектор будет неработоспособен, если исходный контейнер С содержит значения, равномерно распределённые на отрезке от 0 до 255
- Данная система предполагает детектирование ЦВЗ, что не позволяет полноценно использовать её в предложенном выше сценарии точной аутентификации

## 2. СВИ-20 (Lossless-LSB): Удаляемые ЦВЗ за счёт сжатия НЗБ

31

- $C^W := C$
- Сжимаем без потерь одну из битовых плоскостей  $C_k, k = \{3, 4\}$
- Обнуляем  $C_k^W$
- Вместо исходной  $C_k^W$  записываем:
  - Архив  $C_k$
  - Метка окончания архива
  - Хеш исходного изображения  $C$

### 3. Избирательная аутентификация

32

- Основные характеристики
  - 1) Требуется выявить явные изменения, произошедшие с изображением
  - 2) Искажения изображения, вызванные встраиванием ЦВЗ, допустимы
  - 3) Дополнительное условие: задано подмножество допустимых преобразований
- Выводы и особенности:
  - (2) и (3) отличают этот случай от точной аутентификации
  - Если (3) не требуется, это частный случай, который можно назвать неточной аутентификацией. Решается при помощи хрупких ЦВЗ
  - Если (3) требуется – классическая избирательная аутентификация. Решается при помощи полухрупких ЦВЗ

### 3. Хрупкие ЦВЗ

33

- Примеры методов: НЗБ, QIM,...
- $W(n_1, n_2)$ , как правило, известен на этапе извлечения, не несёт в себе информации и определяется частично на основе ключа
- Может быть вариант, когда часть ЦВЗ выступает в этой роли, а часть несёт некую полезную информацию
- Если найдётся хотя бы одна точка  $(n_1, n_2)$ , в которой  $W^R(n_1, n_2) \neq W(n_1, n_2)$ , то считаем, что в изображение внесены изменения

### 3. Полухрупкие ЦВЗ

34

- Основа – хрупкие методы
- Далее частичная стойкость достигается за счёт преобразования данных, способа формирования ЦВЗ, формулы встраивания, значений параметров
- Для каждого искажения, к которому нужно обеспечить стойкость, формируется индивидуальное решение
- Пример: стойкость к повороту на угол, кратный  $90^\circ$   
*Решение:* формирование ЦВЗ согласно условию

$$W(n_1, n_2) = W(N - n_1, n_2) = W(n_1, N - n_2) = W(N - n_1, N - n_2)$$

- Пример: стойкость равномерному шуму амплитудой  $\Delta/2$   
*Решение:* QIM со шкалой квантования с шагом  $\Delta$

### 3. ЦВЗ, полуяркие к JPEG

35

- Цель – сохранять ЦВЗ при JPEG-сжатии с высоким качеством, разрушать ЦВЗ при сжатии с низким качеством
- $QF$  – параметр качества JPEG-сжатия, стойкость к которому требуется обеспечить.  $QF^*$  - параметр качества будущего сжатия.
- $QF^* \geq QF$  – ЦВЗ сохраняется.
- СВИ-21 (Lin & Chang) по версии книги *Watermarking Systems Engineering*
  - Блоки 8x8, ДКП. Результат –  $f_{ij}(m_1, m_2)$
  - В каждый блок встраиваем 4 бита информации  $b_{ij,k}$ , где  $k = \overline{0,3}$
  - Берём множество  $D$  из 28 коэффициентов  $f_{ij}(m_1, m_2)$ , расположенных ниже побочной диагонали:  $D = \{(m_1, m_2): m_1 + m_2 > 7\}$ ,
  - Разбиваем  $D$  на 4 равных подмножества  $D_k$  по 7 коэффициентов в соответствии с ключом встраивания  $\mathbf{k}$ .

### 3. Коэффициенты при сжатии JPEG

36

- $p_{ij}(m_1, m_2) = \text{round} \left( \frac{f_{ij}(m_1, m_2)}{\eta_{QF}(m_1, m_2)} \right)$ . Далее  $p_{ij}$  в код Хаффмана

$$\eta_{QF}(m_1, m_2) = k(QF) \cdot \eta_{50}(m_1, m_2),$$

$$k(QF) = \begin{cases} \text{round} \left( \frac{50}{QF} \right), & QF < 50, \\ 2 - 0.02 \cdot QF, & QF \geq 50. \end{cases}$$

16	11	10	16	24	40	51	61
12	12	14	19	26	58	60	55
14	13	16	24	40	57	69	56
14	17	22	29	51	87	80	62
18	22	37	56	68	109	103	77
24	35	55	64	81	104	113	92
49	64	78	87	103	121	120	101
72	92	95	98	112	100	103	99

- $\eta_{50}(m_1, m_2)$ :

### 3. Основная процедура встраивания в системе СВИ-21 (Lin & Chang)

37

- Для встраивания каждого бита  $b_{ij,k}$  повторяем шаги:
  - Осуществить деление коэффициентов  $f_{ij}(m_1, m_2)$ , где  $(m_1, m_2) \in D_k$ , на элементы матрицы  $\eta_{QF}$

$$f'_{ij}(m_1, m_2) = \text{round} \left( \frac{f_{ij}(m_1, m_2)}{\eta_{QF}(m_1, m_2)} \right),$$

- Вычислить двоичное значение

$$\beta = \underset{(m_1, m_2) \in D_k}{\text{XOR}} \left( f'_{ij}(m_1, m_2) (\text{mod } 2) \right).$$

- Если  $\beta \neq b_{ij,k}$ , то инвертировать младший бит  $f'_{ij}(m_1, m_2)$  у того коэффициента  $(m_1, m_2)$ , которому соответствует наибольшее значение  $\eta(m_1, m_2)$ .

- Умножить обратно значения  $f'_{ij}(m_1, m_2)$  на элементы матрицы  $\eta_{QF}$

$$f^W_{ij}(m_1, m_2) = \eta_{QF}(m_1, m_2) \cdot f'_{ij}(m_1, m_2).$$

### 3. Процедура извлечения и принцип работы СВИ-21 (Lin & Chang)

38

- Извлечение:

$$b_{ij,k}^R = \underset{(m_1, m_2) \in D_k}{XOR} \left( \widetilde{f}'_{ij}(m_1, m_2) \pmod{2} \right)$$

- Функция переквантования в JPEG:

$$Q(x, \Delta) = \Delta \cdot \text{round} \left( \frac{x}{\Delta} \right).$$

- Принцип работы метода обеспечения полуяркости:

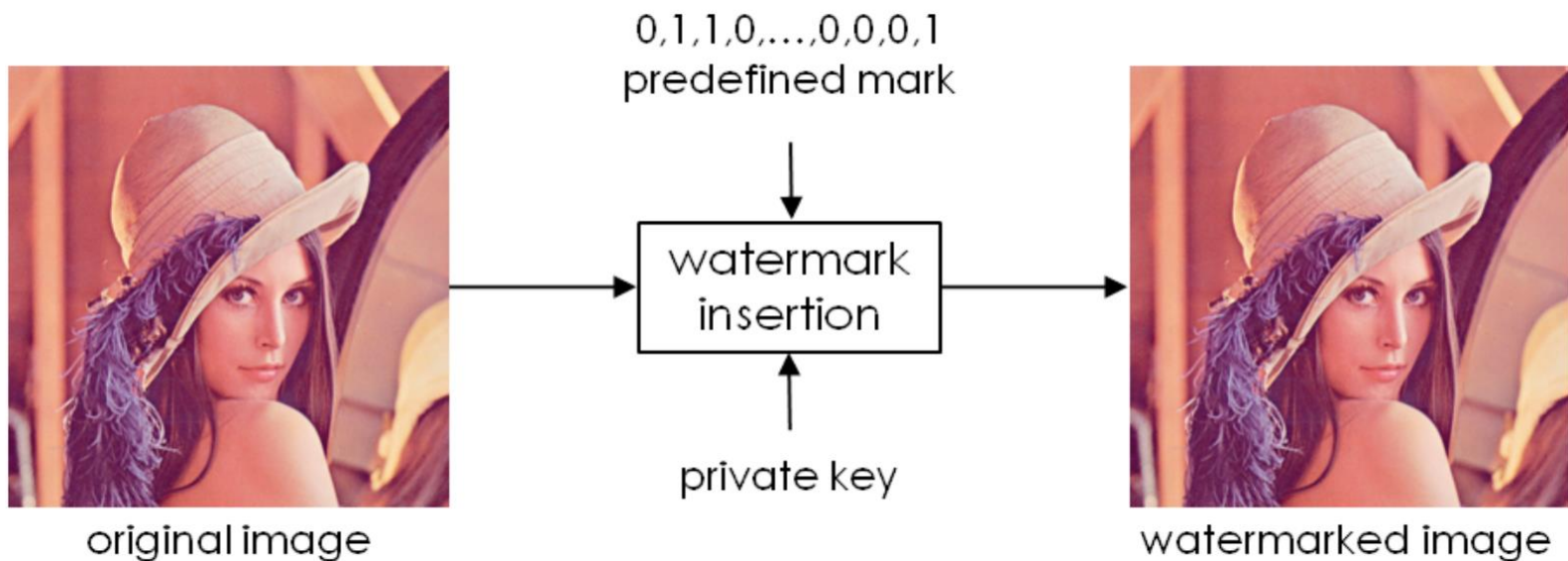
Пусть  $\Delta_1$  – некоторый из шагов квантования коэффициентов ДКП, определяемый значением  $QF$ , а  $\Delta_2 \leq \Delta_1$  – пользовательский шаг квантования. Тогда справедливо равенство

$$Q(Q(Q(x, \Delta_1), \Delta_2), \Delta_1) = Q(x, \Delta_1).$$

### 3. Локализация изменений: разные подходы

39

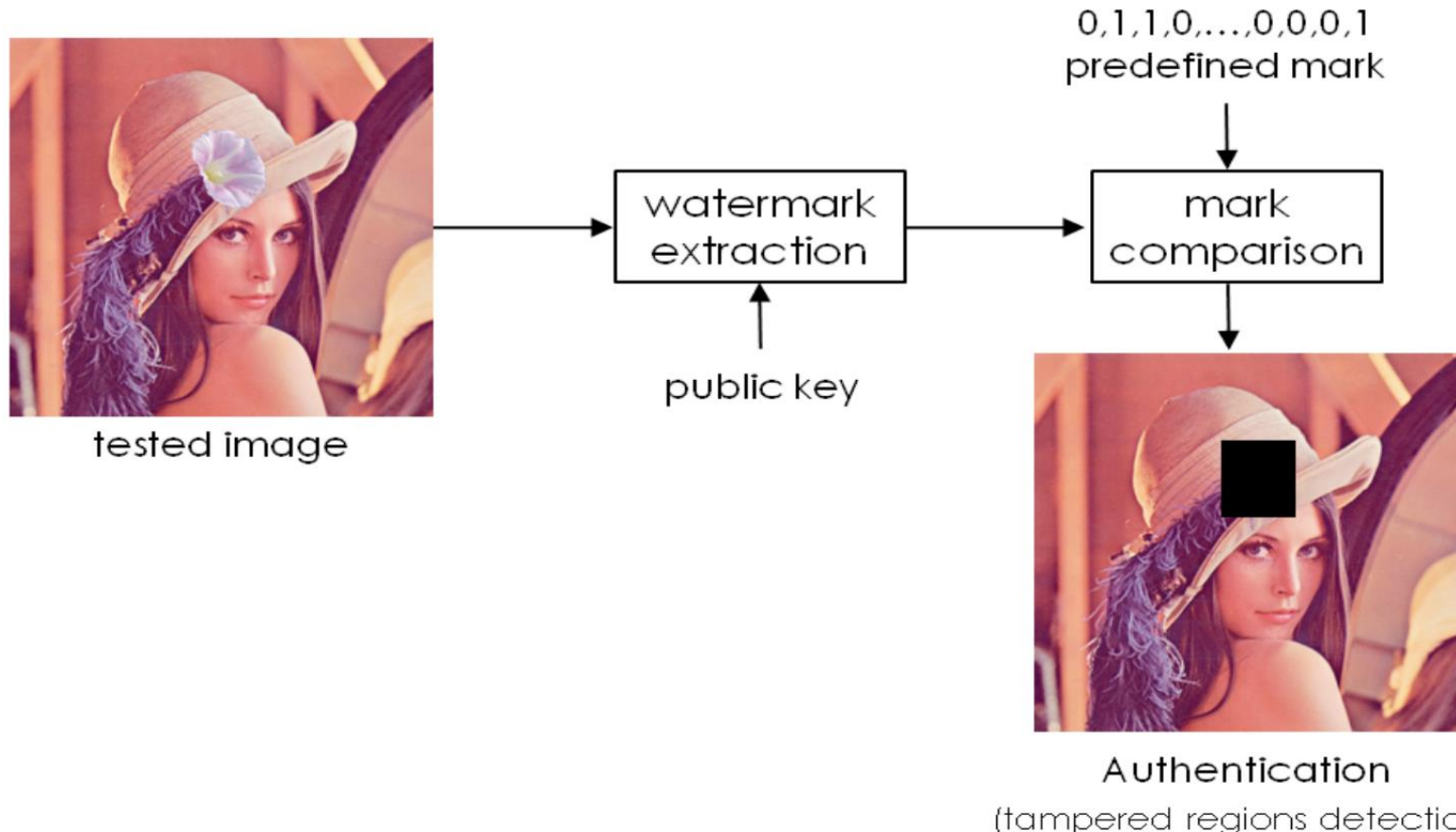
- Локализация изменений при помощи (полу)хрупких ЦВЗ-систем:
  - Защита изображения на предварительном этапе (встраивание информации)



### 3. Локализация изменений: разные подходы

40

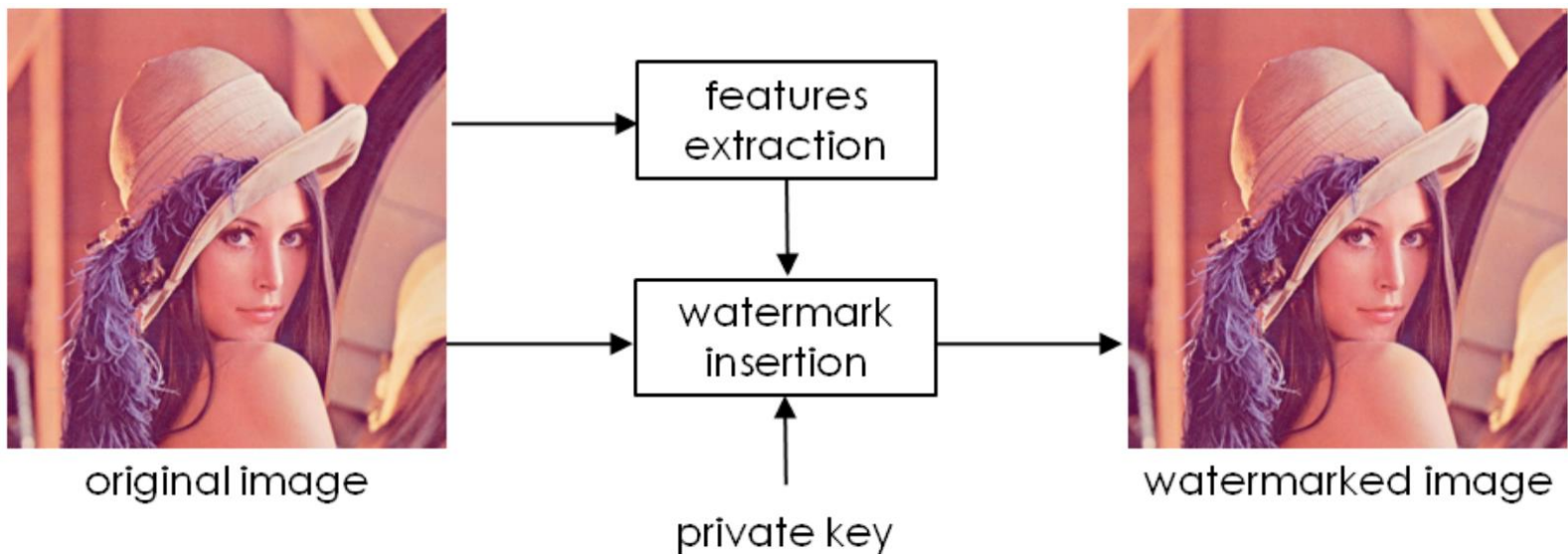
- Локализация изменений при помощи (полу)хрупких ЦВЗ-систем:
  - Проверка подлинности изображения (извлечение информации)



### 3. Локализация изменений: разные подходы

41

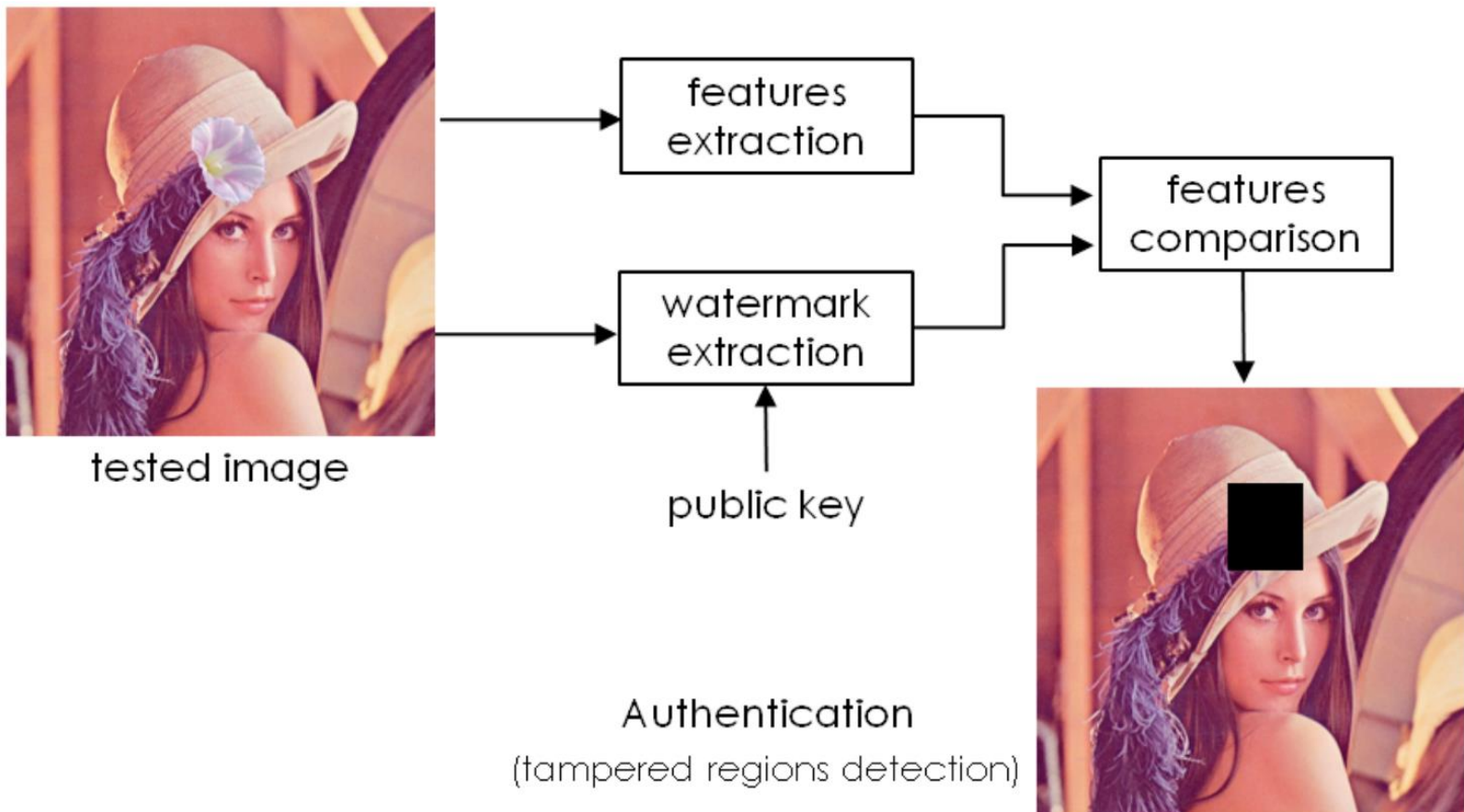
- Локализация изменений при помощи стойких ЦВЗ-систем:
  - Защита изображения на предварительном этапе (встраивание информации)



### 3. Локализация изменений: разные подходы

42

- Локализация изменений при помощи стойких ЦВЗ-систем:
  - Проверка подлинности изображения (извлечение информации)



### 3. Локализация изменений: разные подходы

43

- Чаще всего применяется метод на основе (полу)хрупких ЦВЗ-систем
- Почему?
  - Первая причина?
  - Вторая причина?
- Можно сказать, что аутентификация без локализации не особенно нужна. Стандарт де facto – сразу использовать средства локализации искажений
- Основная цель – не извлечение встроенной неизвестной информации, а поиск маски изменений

### 3. СВИ-23 (Yeung & Mintzer)

44

- На основе ключа  $\mathbf{k}$  формируется отображение
$$\mu: \mathbb{N}_0 \cap [0,255] \mapsto \{0,1\},$$
- Например,  $\mu(x) = x \pmod{2}$ .
- Для встраивания формируется бинарный шаблон ЦВЗ  $W_r$  размерами  $M_1 \times M_2$
- В результате встраивания должно быть выполнено условие
$$\mu(C^W(n_1, n_2)) = W_r(n_1 \pmod{M_1}, n_2 \pmod{M_2}).$$
- Проверка для каждого пикселя  $(n_1, n_2)$ : если условие уже выполняется у контейнера, то  $C^W(n_1, n_2) = C(n_1, n_2)$

### 3. СВИ-23 (Yeung & Mintzer)

45

- В противном случае находится такое  $v \in \mathbb{N}_0 \cap [0, 255]$ , что

$$\mu(v) = W_r(n_1 \pmod{M_1}, n_2 \pmod{M_2})$$

- и  $v$  – ближайшее к  $C(n_1, n_2)$  число, удовлетворяющее этому соотношению. То есть

$$v = \arg \min_{x: \mu(x)=W(n_1 \pmod{M_1}, n_2 \pmod{M_2})} |x - C(n_1, n_2)|$$

- Далее,  $C^W(n_1, n_2) = v$ .

- Маска изменений

$$E(n_1, n_2) = \begin{cases} 1, & \mu(\tilde{C}^W(n_1, n_2)) \neq W_r(n_1 \pmod{M_1}, n_2 \pmod{M_2}), \\ 0 & \text{иначе.} \end{cases}$$

- По статистике половина изменённых точек будет иметь нулевое значение. Выход – постобработка. Например, морфологическое замыкание

# 4. Восстановление искажённых фрагментов изображения

46

- Основная идея – self-embedding – встраивание в изображение информации о нём самом
- Реализация – либо через (полу)хрупкие системы, либо через стойкие – аналогично задаче локализации
- Два подхода:
  - Встраивание всей информации об изображении в сжатом виде
    - + полная картина по пространству
    - - низкое разрешение
  - Встраивание информации только о значимой области изображения (Region of Interest, ROI)
    - - Сначала нужно отыскать эти области
    - - Возможно, придётся закодировать смещения для восстановления ROI
    - + выше разрешение

## 4. Средства восстановления в СВИ-21 (Lin & Chang)

47

- Реализует первый подход
- В каждый блок 8x8 встраивается 6 бит для восстановления в дополнение к 4 битам для локализации изменений.
- Основные этапы:
  - При кодировании контейнера в ЦВЗ изображение масштабируется в два раза по обеим осям (итого в 4 раза меньше точек)
  - Разделение на блоки 8x8, ДКП.
  - Каждому такому блоку соответствует 4 блока носителя информации. Значит суммарно  $6 \cdot 4 = 24$  бита информации для его восстановления мы можем встроить.
  - Квантование с  $QF = 25$ , далее кодирование Хаффмана. 24 первых символа и есть искомый ЦВЗ

# 4. Пример восстановления в СВИ-21 (Lin & Chang)

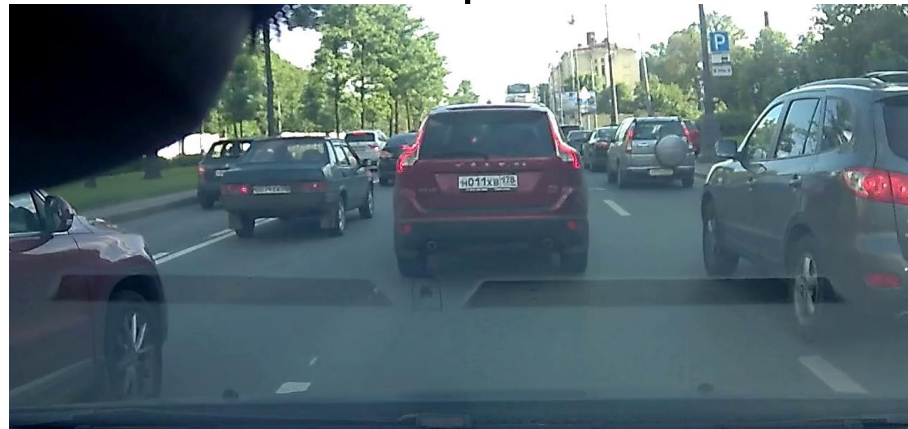
48



## 4. Средства восстановления в СВИ-21 (Lin & Chang)

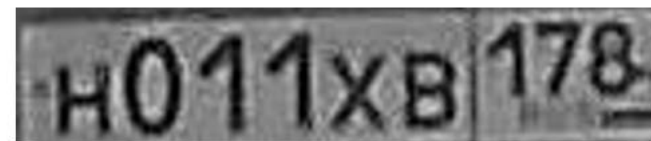
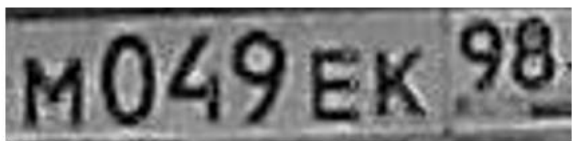
49

- Второй подход на основе ROI ранее применялся только для медицинских снимков. Там выделить ROI очень просто
- [Egorova & Fedoseev, 2020]:
  - Снимки дорожной обстановки
  - ROI – область номерного знака
  - Стойкость к вырезанию фрагмента
- Основные этапы:
  - По умолчанию 5 проверочных бит; длина кода Хаффмана до 32 бит
  - Масштабирования не производится,  $QF = 10$
  - Есть возможность выполнить избыточное встраивание информации для восстановления
  - Отдельные метки определяют высоту ROI и номер блока ROI
  - Широкое использование ключа

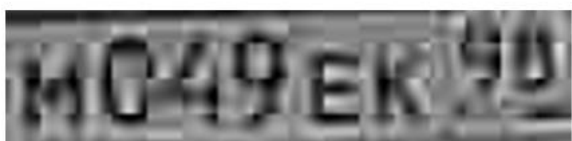


# Сравнение двух методов на примере восстановления ROI

50



Исходные ROI



b)  $PSNR=19.2 \text{ dB}$



c)  $PSNR=22.7 \text{ dB}$



d)  $PSNR=21.3 \text{ dB}$

Восстановление контейнера из ЦВЗ, Egorova & Fedoseev



b)  $PSNR=14.8 \text{ dB}$



c)  $PSNR=17.1 \text{ dB}$



d)  $PSNR=16.0 \text{ dB}$

Восстановление контейнера из ЦВЗ, Lin & Chang